

Kierunek: **Informatyka Stosowana (IST)**  
Specjalność: **Zastosowania Specjalistycznych Technologii Informatycznych**

**PRACA DYPLOMOWA**  
**MAGISTERSKA**

**Opracowanie algorytmu generacji  
grafu DSP do rozwiązania problemu  
syntezy dźwięku**

**Automated generation of signal  
processing graphs for sound synthesis**

Mateusz Bączek

Opiekun pracy  
**dr inż. Maciej Hojda**

Słowa kluczowe: synteza, dźwięk, graf, optymalizacja



Tekst zawarty w niniejszym szablonie jest udostępniany na licencji Creative Commons: *Uznanie autorstwa – Użycie niekomercyjne – Na tych samych warunkach, 3.0 Polska*, Wrocław 2023.

Oznacza to, że wszystkie przekazane treści można kopiować i wykorzystywać do celów niekomercyjnych, a także tworzyć na ich podstawie utwory zależne pod warunkiem podania autora i nazwy licencjodawcy oraz udzielania na utwory zależne takiej samej licencji. Tekst licencji jest dostępny pod adresem: <http://creativecommons.org/licenses/by-nc-sa/3.0/pl/>.

Licencja nie dotyczy latexowego kodu szablonu. Sam szablon (tj. zbiór przygotowanych komend formatujących dokument) można wykorzystywać bez wzmiankowania o jego autorze. Dlatego podczas redakcji pracy dyplomowej niniejszą stronę można usunąć.

## Streszczenie

Praca prezentuje metodę automatycznej konstrukcji grafu przetwarzania sygnałów dźwiękowych, które wykonują syntezę zadanego przez użytkownika dźwięku. Wytworzony w ramach pracy algorytm może zostać wykorzystany jako narzędzie w pracy inżynierów dźwięku, podczas tworzenia nowych instrumentów elektronicznych lub efektów specjalnych. W przeciwieństwie do technik wykorzystujących sieci neuronowe jako narzędzia syntezy, wynikiem działania algorytmu wytworzonego w ramach pracy jest zrozumiały dla człowieka graf przetwarzania sygnałów, przypominający konwencjonalne konfiguracje syntezy dźwięku wykorzystywane w programach do pracy nad dźwiękiem.

**Słowa kluczowe:** synteza, dźwięk, graf, optymalizacja

## Abstract

Todo: zrobić.

**Keywords:** synthesis, sound, audio, graph, optimisation

# Spis treści

<b>1. Wstęp</b>	<b>11</b>
1.1. Cel pracy	13
1.1.1. Generowanie grafu przetwarzania sygnałów	14
1.1.2. Funkcja celu oceniająca podobieństwo barwy dźwięku	14
1.1.3. Problem optymalizacyjny	14
1.2. Zakres pracy, plan badań	14
1.2.1. Metody generowania grafu przetwarzania sygnałów oraz późniejsza modyfikacja grafu	14
1.2.2. Dobór funkcji błędu: różnica między wygenerowanym a docelowym sygnałem dźwiękowym	15
1.3. Struktura i zawartość pracy	15
<b>2. Definicja problemu</b>	<b>17</b>
2.1. Budowa grafu	18
2.1.1. Struktura grafu	18
2.1.2. Przypisanie parametrów do „wolnych wejść”	18
2.2. Funkcja celu	19
2.3. Ograniczenia	19
2.4. Problem optymalizacji	19
<b>3. Funkcja celu – porównanie barwy dźwięku</b>	<b>20</b>
3.1. Porównanie barwy dźwięku w literaturze	20
3.1.1. Systematyzacja metod z literatury	21
3.1.2. Wybór funkcji celu do przetestowania	21
3.2. Proces testowania funkcji celu	21
3.3. Przekrój wartości funkcji celu dla prostego problemu syntezy typu FM	22
3.3.1. Analiza wyników	22
3.4. Optymalizacja parametrów dla predefiniowanych grafów syntezy FM oraz <i>analog modeling</i>	23
3.4.1. Synteza FM	23
3.4.2. Synteza <i>analog modeling</i>	23
3.4.3. Plan testów	24
3.4.4. Wyniki testów	24
<b>4. Algorytm rozwiązania</b>	<b>26</b>
<b>5. Graf przetwarzania sygnałów</b>	<b>27</b>
5.1. Podstawy syntezy dźwięku w synteźatorach modułowych	27
5.2. Wymagania	28
5.2.1. Węzły DSP	28
5.2.2. Połączenia między węzłami – modulacja parametrów węzłów	30
5.2.3. Graf przetwarzania sygnałów	31

5.2.4.	Automatyzacja pracy ze środowiskiem eksperymentowym za pośrednictwem języka Python . . . . .	31
5.3.	Opis zaimplementowanego środowiska eksperymentowego . . . . .	31
5.3.1.	Przykłady użycia . . . . .	31
5.3.2.	Detale techniczne . . . . .	32
<b>6.</b>	<b>Optymalizacja struktury grafu DSP oraz jego parametrów . . . . .</b>	<b>34</b>
6.1.	Wybór źródeł sygnału . . . . .	35
6.1.1.	Synteza FM . . . . .	35
6.1.2.	Synteza <i>analog modeling</i> . . . . .	36
6.2.	Wybór filtrów . . . . .	36
6.2.1.	Filtr górnoprzepustowy . . . . .	36
6.2.2.	Filtr dolnoprzepustowy . . . . .	36
6.3.	Wybór efektów . . . . .	36
6.3.1.	Reverb . . . . .	37
6.3.2.	Delay . . . . .	37
	<b>Literatura . . . . .</b>	<b>38</b>
<b>A.</b>	<b>Instrukcja wdrożeniowa . . . . .</b>	<b>41</b>
<b>B.</b>	<b>Opis załączonej płyty CD/DVD . . . . .</b>	<b>42</b>

# Spis rysunków

1.1.	Zapis nutowy utworu <i>Opus One</i> , wygenerowany przez komputer <i>Lamus</i> . . . . .	11
1.2.	Przykładowy spektrogram wygenerowany przez algorytm <i>Stable Riffusion</i> dla danych wejściowych funk bassline with a jazzy saxophone solo. . . . .	12
1.3.	Synteza <i>Mother 32</i> firmy <i>Moog</i> , po prawej stronie widoczny jest <i>patch bay</i> z podłączonymi przewodami, które nadpisują konfigurację połączeń między układami generującymi i przetwarzającymi sygnał dźwiękowy. . . . .	13
1.4.	Zbiór parametrów konfiguracyjnych przykładowy syntezy dźwięku w programie <i>Ableton</i> . . . . .	13
1.5.	Diagram blokowy pojedynczego głosu w syntezy <i>Minilogue xd</i> firmy <i>Korg</i> [27]. . . . .	14
2.1.	Przykładowy węzeł w grafie, generujący sygnał sinusoidalny z możliwością modulacji. . . . .	17
2.2.	Przykładowy graf DSP. Wolne wejścia, które nie są modulowane przez źródła sygnału w grafie są optymalizowanymi parametrami. . . . .	18
3.1.	Przykład trzech próbek dźwięku, które dla słuchacza brzmią identycznie, mimo znacznych różnic w kształcie fali. Źródło obrazka: [17]. . . . .	20
3.2.	Prosty graf syntezy FM, zawierający jeden oscylator służący za sygnał nośny i jeden oscylator służący za sygnał modulujący. . . . .	21
3.3.	Zmiany w wartościach testowanych funkcji celu podczas przesuwania różnych parametrów syntezy dźwięku. Kształt pierwszego wykresu wynika z zastosowania kwantyzacji dostępnych częstotliwości modulacji, aby wykluczyć nieharmoniczne stosunki częstotliwości modulacji i nośnej. Tego rodzaju praktyka jest wykorzystywana w syntezy FM [16], ponieważ ułatwia dostosowywanie parametrów syntezy. . . . .	22
3.4.	Spektrogram, kształt fali oraz wizualizacja MFCC dla próbki dźwięku, którą ma imitować graf syntezy FM podczas testów różnych funkcji celu. . . . .	23
3.5.	Graf wykonujący syntezę typu <i>analog modeling</i> , wykorzystany do testów funkcji celu. . . . .	23
3.6.	Spektrogram, kształt fali oraz wizualizacja MFCC dla próbki dźwięku, którą ma imitować graf syntezy <i>analog_modeling</i> podczas testów różnych funkcji celu. . . . .	24
3.7.	Wykresy zmian funkcji celu podczas optymalizacji dla grafu syntezy FM. TODO obrazek z większą liczbą prób w RMSie . . . . .	24
3.8.	Spektrogram dźwięku docelowego oraz dźwięków uzyskanych w procesie optymalizacji parametrów grafu. Czerwoną strzałką oznaczono składową harmoniczną, poprawnie odtworzoną przez algorytm genetyczny. . . . .	24
4.1.	Diagram algorytmu rozwiązania zaimplementowanego w ramach pracy. Algorytm oceny może wykorzystywać różne funkcje celu, finalnie zastosowano MFCC oraz <i>dynamic time wrapping</i> , proces wyboru funkcji celu opisuje rozdział 3. . . . .	26
5.1.	Przykładowy układ modułów w standardzie <i>Eurorack</i> [1]. W prawym dolnym rogu widoczne połączenia modulujące między modułami. . . . .	27

5.2. Przykładowy układ węzłów DSP w zaimplementowanym środowisku eksperymentowym. Układ wykonuje syntezę subtraktywną z modulowaną wartością częstotliwości granicznej filtra niskoprzepustowego oraz dodaje efekt pogłosu ( <i>reverb</i> ) [15]. . . . .	28
5.3. Węzeł DSP w zaimplementowanym środowisku eksperymentowym, generujący falę sinusoidalną z możliwością modulacji fazy. . . . .	29
5.4. Moduł syntezy <i>Mutable Instruments Elements</i> , umożliwiający ręczne ustawianie <b>oraz</b> modulację parametrów. Moduł wykonuje syntezę typu <i>physical modeling</i> [22].	29
5.5. Przykładowa modulacja parametru <code>input_modulation</code> za pomocą sygnału sinusoidalnego, charakterystyczna dla syntezy typu FM [28]. . . . .	30
5.6. Spektrogram oraz wykres sygnału wygenerowanego za pomocą układu z rysunku 5.2.2. Widoczne dodatkowe składowe harmoniczne wpływające na barwę dźwięku. . . . .	30
5.7. Spektrogram oraz wykres sygnału wygenerowanego przez układ z rysunku 5.2.2 <b>po usunięciu</b> połączenia modulującego fazę oscylatora #2. Widoczna tylko jedna składowa harmoniczna: częstotliwość podstawowa. . . . .	30
5.8. Wynik wykonania kodu przedstawionego w listingu 5.2 w środowisku <i>Jupyter Notebook</i> , wizualizacja utworzonego grafu. . . . .	32
6.1. sekcje przetwarzania sygnałów oraz przykładowe węzły przetwarzania sygnałów, które są w nich powszechnie wykorzystywane. . . . .	34
6.2. Graf wykorzystujący gen FM1. . . . .	35
6.3. Graf wykorzystujący gen FM2. . . . .	35
6.4. Graf wykorzystujący gen AN1. . . . .	36
6.5. Graf wykorzystujący gen AN2. . . . .	36

# Spis tabel



# Spis listingów

5.1. Implementacja węzła SineOscillator. . . . .	29
5.2. Utworzenie prostego grafu generującego sygnał sinusoidalny. . . . .	31
5.3. Typ danych zwracanych przez środowisko eksperymentalne. . . . .	32

# Skróty

- DAW** (ang. *Digital Audio Workstation*) – oprogramowanie dostępne na komputery osobiste, służące do komponowania utworów muzycznych.
- STFT** (ang. *Short-time Fourier Transform*) – wariant transformaty Fouriera, wykonujący transformację na ruchomym oknie przesuwanym się wzdłuż analizowanego sygnału. **STFT** pozwala na zwiększenie dokładności transformaty dla sygnałów o dużej zmienności w czasie. W kontekście syntezy audio, **STFT** zwiększa dokładność z jaką rejestrowane są transjenty, czyli dynamiczne zmiany charakterystyki barwy dźwięku w czasie.
- CV** (ang. *Control Voltage*) – Sygnał sterujący parametrami syntezy dźwięku, standardowo wykorzystywanych w synteзаторach modułowych (przykładowo w standardzie *EuroRack*). Sygnał **CV** wykorzystuje się do przekazywania sygnałów kontrolnych między modułami.
- VCO** (ang. *Voltage Controlled Oscillator*) – komponent elektroniczny generujący sygnał dźwiękowy. Parametry generowanego sygnału sterowane są za pomocą napięcia kontrolnego (**CV**).
- VCF** (ang. *Voltage Controlled Filter*) – komponent elektroniczny wykonujący filtrację dźwięku w domenie częstotliwości. Parametry filtru sterowane są za pomocą napięcia kontrolnego (**CV**).

# Rozdział 1

## Wstęp

Rozpowszechnione algorytmy sztucznej inteligencji wspomagające pracę inżynierów dźwięku można podzielić na trzy główne kategorie [14] :

1. algorytmy generujące symboliczny zapis muzyki (nuty lub dane MIDI) (1.1), [37],
2. algorytmy generujące gotowy plik audio (1.2).
3. algorytmy symulujące brzmienie instrumentów muzycznych za pomocą sieci neuronowych [18].

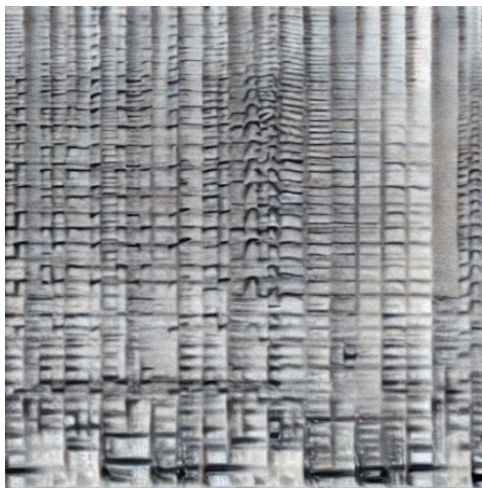
Pierwsza grupa algorytmów znana jest już od lat 80, gdyż zagadnienie generowania zapisu symbolicznego wymaga mniej mocy obliczeniowej niż wytworzenie pełnego pliku audio. Powszechnie wykorzystywana jest w nich teoria muzyki, pozwalająca określić matematyczne relacje występujące w rytmach, melodiach i progresjach akordów. Wiedza dotycząca teorii muzyki pozwala na wyznaczenie możliwej przestrzeni stanów, w której generowana jest kompozycja, natomiast modele matematyczne takie jak łańcuchy Markowa służą za mechanizmy decyzyjne, które „nawigują” w przestrzeni stanów.

Iamus  
Opus #1

The image displays a musical score for 'Iamus Opus #1'. The score is written for a large ensemble of instruments. The instruments listed on the left are: Flute, Clarinet in D, Horn in F, Violin, Viola, Violoncello, Trumpet, Clarinet, Horn, Viola, and Violoncello. The score is written in 4/4 time and features a variety of musical notations, including notes, rests, and dynamic markings. The tempo is marked as 'Allegro' (♩ = ca. 90). The score is divided into three systems, each containing five staves. The first system includes a Flute part, a Clarinet in D part, a Horn in F part, a Violin part, and a Viola part. The second system includes a Violoncello part, a Trumpet part, a Clarinet part, a Horn part, and a Viola part. The third system includes a Violoncello part, a Trumpet part, a Clarinet part, a Horn part, and a Viola part. The score is written in a standard musical notation style, with notes, rests, and dynamic markings.

Rys. 1.1: Zapis nutowy utworu *Opus One*, wygenerowany przez komputer *Lamus*.

Druga grupa algorytmów, generująca pliki audio, rozwija się na bazie nowych możliwości, które zapewniają algorytmy wywodzące się ze *Stable Diffusion* [31]. Najnowsze modele generujące pliki audio zgodne z opisem tekstowym (przykładowo „smutny jazz” bądź „muzyka taneczna w stylu Depeche Mode”) szkolone są w taki sam sposób jak algorytmy *stable diffusion*. Jednakże zamiast na obrazach artystów, modele takie jak *Stable Riffusion* [20] uczą się na spektrogramach, które następnie są w stanie wygenerować (1.2). Po wygenerowaniu spektrogramu przez model, jest on konwertowany do pliku audio za pomocą odwrotnej transformaty Fouriera.



Rys. 1.2: Przykładowy spektrogram wygenerowany przez algorytm *Stable Riffusion* dla danych wejściowych funk bassline with a jazzy saxophone solo.

Metody opisane w rozdziale 1 można porównać pod względem ich przydatności dla użytkownika końcowego, czyli osoby zajmującej się produkcją nagrań muzycznych. Metoda pierwsza, generowanie zapisu symbolicznego, może wydawać się mniej zaawansowana niż generowanie całych plików dźwiękowych. Jednakże, z perspektywy użytkownika, zapis symboliczny jest bardziej praktyczny, ponieważ możliwe jest zaimportowanie go do programu DAW i późniejsza modyfikacja zapisu nutowego. Obecnie dostępne modele generujące pełne nagrania z muzyką nie umożliwiają szczegółowego edytowania parametrów wygenerowanego dźwięku, ponieważ operują bardzo wysokopoziomowo – syntezują muzykę na podstawie opisu słownego.

Podsumowując, wykorzystanie wygenerowanego przez komputer zapisu nutowego jest proste, ze względu na symboliczną naturę zapisu. Wykorzystanie wygenerowanego przez komputer **dźwięku** jest ograniczone ze względu na fakt, że do generowania złożonych sygnałów dźwiękowych wykorzystywane są techniki takie jak głębokie sieci neuronowe, w których utrudniona jest dokładna kontrola nad konkretnymi parametrami funkcjonowania sieci.

Niniejsza praca sugeruje nową metodę podejścia do problemu generowania sygnałów dźwiękowych, którego nie da się zaklasyfikować do żadnej z dwóch wyżej wymienionych (1) głównych dziedzin komputerowej kompozycji muzycznej. Wynik pracy algorytmu implementowanego w ramach pracy magisterskiej jest **gotowym elektronicznym instrumentem muzycznym**, który może być wykorzystany w programie do komponowania muzyki. Algorytm nie generuje bezpośrednio sygnału dźwiękowego, lecz tworzy graf przetwarzania sygnałów, który jest zrozumiały dla użytkownika i **pozwala na precyzyjne dostosowanie parametrów syntezy**. Tego typu proces generowania grafów przetwarzania sygnałów dźwiękowych może być porównany z procesem projektowania instrumentu muzycznego.

Modyfikowanie grafu przetwarzania sygnału jest techniką często wykorzystywaną w muzyce elektronicznej, do tworzenia dźwięków o interesującej barwie bądź dynamice. Syntezatory

dźwięku dostępne na rynku często wyposażone są w *patch bay* (1.3), pozwalający na modyfikowanie grafu przepływu sygnałów wewnątrz syntezatora, bądź połączenie go z zewnętrznym sprzętem muzycznym bądź elektronicznym.

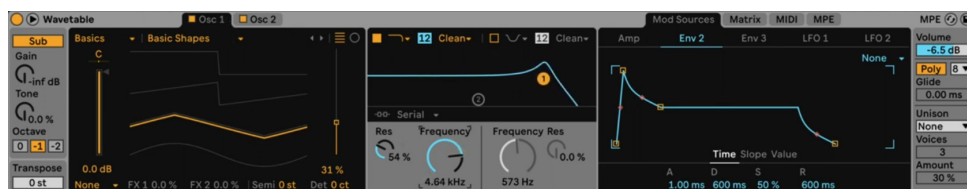


Rys. 1.3: Syntezator *Mother 32* firmy *Moog*, po prawej stronie widoczny jest *patch bay* z podłączonymi przewodami, które nadpisują konfigurację połączeń między układami generującymi i przetwarzającymi sygnał dźwiękowy.

## 1.1. Cel pracy

Celem pracy jest zbadanie, czy algorytmy optymalizacyjne są w stanie wytworzyć graf przetwarzania sygnałów audio, który wykona syntezę próbki dźwięku zadanej przez użytkownika. Problem poruszany w pracy można zakwalifikować do grupy zagadnień związanych z pojęciami *computer-aided design* oraz *generative artificial intelligence*, zastosowanymi w dziedzinie inżynierii dźwięku. Docelowo zaimplementowany algorytm będzie automatyzował pracę inżyniera dźwięku, tworząc i konfigurując grafy przetwarzania sygnałów dźwiękowych, dostępne w programach typu *digital audio workstation* (1.4). Badania obejmują dwa zagadnienia:

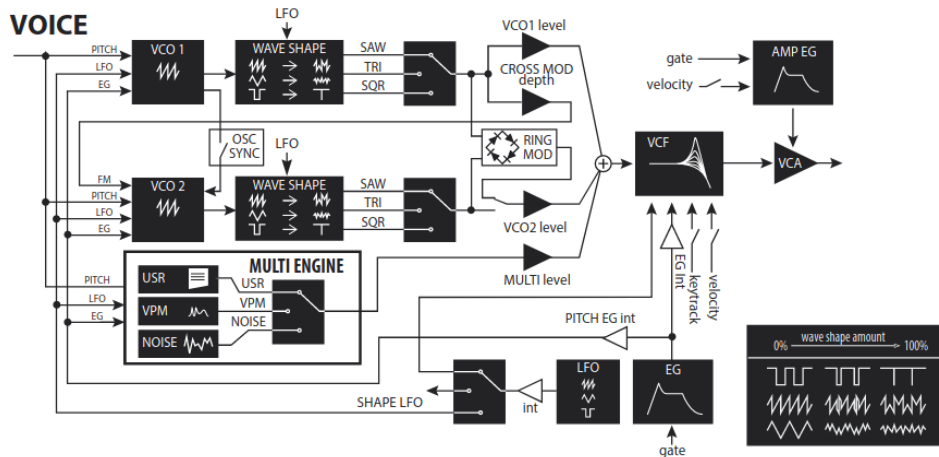
1. metody generowania grafu przetwarzania sygnałów oraz późniejszej modyfikacji grafu – jego struktury oraz parametrów,
2. dobór funkcji celu, na podstawie której algorytm optymalizujący będzie modyfikował graf przetwarzania sygnałów.



Rys. 1.4: Zbiór parametrów konfiguracyjnych przykładowy syntezator dźwięku w programie *Ableton*

### 1.1.1. Generowanie grafu przetwarzania sygnałów

Proces syntezy dźwięku może być przedstawiony jako graf przetwarzania sygnałów, w którym każdy węzeł wykonuje na sygnale określoną operację. Przykładowy graf przetwarzania sygnału dla syntezy analogowego subtraktywnego przedstawiony jest na schemacie 1.5. Pierwsze zagadnienie sprowadza się do opracowania algorytmu pozwalającego na wygenerowanie grafu przetwarzania sygnałów DSP oraz jego późniejszą modyfikację. Przykładem modyfikacji grafu może być wprowadzanie w nim losowych zmian lub krzyżowanie dwóch różnych grafów DSP.



Rys. 1.5: Diagram blokowy pojedynczego głosu w synteźniku *Minilogue xd* firmy Korg [27].

### 1.1.2. Funkcja celu oceniająca podobieństwo barwy dźwięku

Drugie zagadnienie obejmuje przetestowanie szeregu algorytmów, które można wykorzystać do zbudowania funkcji celu, która będzie optymalizowana poprzez „dostrajanie” parametrów i struktury grafu przetwarzania sygnałów dźwiękowych. Praca proponuje wykorzystanie [ **Tutaj dokładna propozycja jak już się przekręca wszystkie symulacje** ] jako funkcji celu. Proces wyboru funkcji celu został opisany w rozdziale 3.

### 1.1.3. Problem optymalizacyjny

Następnie, dla danego układu  $N$  węzłów przetwarzania oraz dla macierzy połączeń  $C$ , należy rozwiązać następujący problem optymalizacji, należy rozwiązać problem maksymalizacji funkcji opisanej równaniem 2.6 dla parametrów wszystkich wejść  $i_j$  oraz  $o_j$ , które nie są połączone bezpośrednio pomiędzy węzłami.

## 1.2. Zakres pracy, plan badań

### 1.2.1. Metody generowania grafu przetwarzania sygnałów oraz późniejsza modyfikacja grafu

Głównym problemem przy generowaniu grafu przetwarzania sygnałów są ograniczenia nałożone na strukturę grafu, które należy spełnić, by graf był logicznie interpretowalny jako łańcuch przetwarzania sygnałów. Graf musi być grafem skierowanym, który nie zawiera pętli o dodatnim sprzężeniu zwrotnym (lub nie zawiera ich wcale, co można założyć dla uproszczenia problemu). Struktura grafu powinna być możliwie jak najbardziej przejrzysta dla użytkownika. Au-

tomatyczna ewolucja może dążyć w kierunku wykorzystania nadmiarowej liczby bloków przetwarzania sygnału, jeśli funkcja celu nie będzie zawierała kary za zbyt złożone grafy. Podobne prace [29] wykorzystują podejście oparte o *mixed-typed cartesian genetic programming*, które będzie punktem startowym dla pracy. Finalnie, badania dążą do wyznaczenia algorytmu o następujących właściwościach:

1. algorytm generuje grafy będące logicznie spójnymi łańcuchami przetwarzania dźwięku (skierowany, bez pętli o dodatnim sprzężeniu zwrotnym w natężeniu sygnału),
2. algorytm maksymalizuje wykorzystanie poszczególnych bloków przetwarzania w grafie, co minimalizuje finalny rozmiar grafu, czyniąc go bardziej czytelnym,
3. generowany graf posiada reprezentację umożliwiającą wykonanie krzyżowania dwóch grafów przetwarzania sygnału. Graf będący wynikiem krzyżowania nadal musi być poprawnym grafem przetwarzania sygnału.

Elementami grafu przetwarzania sygnałów są używane powszechnie w syntezie dźwięku algorytmy:

1. modulacja FM [34] [28],
2. synteza subtraktywna [28] [32],
3. algorytmy *physical modeling* [22] [28],
4. symulacja efektu pogłosu/echa [15] [33].

### 1.2.2. Dobór funkcji błędu: różnica między wygenerowanym a docelowym sygnałem dźwiękowym

Funkcja celu poszukiwana w ramach projektu musi określać, jak dobrze sygnał wygenerowany przez graf przetwarzania sygnałów pokrywa się z sygnałem docelowym. Porównanie sygnałów musi skupiać się na cechach sygnału, które są najbardziej słyszalne dla ludzkiego ucha. Jednocześnie funkcja nie powinna „karać” sygnałów, które są względem siebie przesunięte w fazie. Wśród algorytmów, które zostały wybrane do przetestowania w ramach projektów zawarte są:

1. algorytmy porównywania sygnałów oparte o transformatę Fouriera [23] [38],
2. techniki wykorzystywane do generowania „cyfrowych podpisów” sygnałów dźwiękowych (*sound fingerprinting*) [24],
3. algorytmy wykrywające spadek jakości dźwięku z perspektywy psychoakustycznej [25] [26].

## 1.3. Struktura i zawartość pracy

Praca podzielona jest na następujące części:

### Definicja problemu (2)

Formalizuje i opisuje problem optymalizacyjny rozwiązywany w pracy.

### Analiza i wybór funkcji celu (3)

Porównuje funkcje z dziedziny przetwarzania sygnałów, które pozwalają określić jak podobna jest barwa dźwięku dwóch sygnałów dźwiękowych. Uzasadnia wybór funkcji celu, która została zastosowana w pracy.

### **Algorytm rozwiązania (4)**

Opisuje algorytm wykorzystany do rozwiązania problemu zdefiniowanego w rozdziale 2.

### **Środowisko eksperymentalne: graf przetwarzania sygnałów (5)**

Opisuje zaimplementowane w ramach pracy środowisko eksperymentalne, pozwalające na wytwarzanie grafów przetwarzania sygnałów o dowolnej strukturze. Przedstawia zaimplementowane algorytmy syntezy i przetwarzania sygnałów dźwiękowych.

### **Optymalizacja struktury grafu DSP oraz jego parametrów (6)**

Opisuje proces badawczy, w którym narzędzia wytworzone w rozdziałach 5 oraz 3 zostały wykorzystane do automatycznego wytworzenia grafu DSP, który naśladuje barwę zadanej próbki dźwięku.

### **Analiza wyników, dyskusja nad skutecznością działania algorytmu oraz możliwe drogi dalszego rozwoju (??)**

Rozdział podsumowuje uzyskane wyniki badań, podejmuje dyskusję nad ogólną skutecznością i przydatnością zaimplementowanego rozwiązania oraz kreśli potencjalne drogi dalszego rozwoju prac badawczych w podobnej tematyce. W czasie, gdy niniejsza praca była tworzona, zostały opublikowane badania dotyczące podobnego problemu [19], rozdział podejmuje dyskusję o różnicach w podejściu do problemu oraz potencjalnych zalet i wad każdego z podejść.



## Rozdział 2

# Definicja problemu

Jak opisano w zakresie pracy (1.2), w pracy rozwiązywany jest problem budowy grafu przetwarzania sygnałów oraz opracowanie funkcji celu, porównującej dwa sygnały pod względem ich barwy. Następnie algorytm generujący graf przetwarzania sygnałów oraz funkcja porównująca barwy sygnałów są wykorzystane do rozwiązania problemu optymalizacyjnego. Graf przetwarzania sygnałów można opisać jako zbiór połączonych węzłów generujących i przetwarzających sygnał dźwiękowy. Każdy węzeł opisany jest poprzez:

1. zbiór wejść,
2. zbiór wyjść,
3. operację matematyczną, wykonywaną na sygnale.

SineOscillator #2
o input_frequency: 0.000
o input_modulation: 0.000
o input_modulation_index: 0.100
output_output •

Rys. 2.1: Przykładowy węzeł w grafie, generujący sygnał sinusoidalny z możliwością modulacji.

Przykładowo, dla syntezy subtraktywnej powszechnie wykorzystywane są następujące typy węzłów:

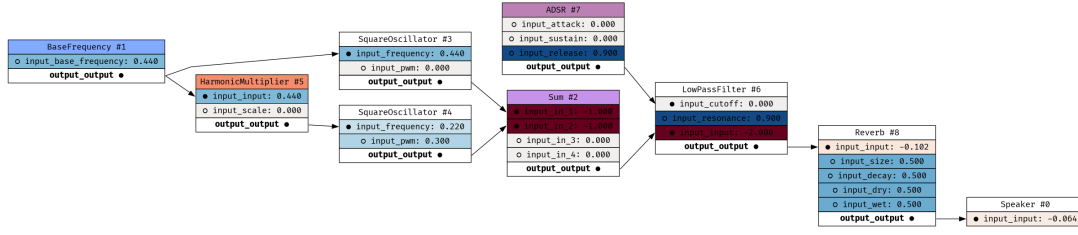
### Oscylator (VCO):

1. Wejścia:
  - częstotliwość,
  - kształt fali.
2. Wyjścia:
  - wygenerowany sygnał.

### Filtr (VCF):

1. Wejścia:
  - sygnał wejściowy
  - częstotliwość odcięcia,
  - rezonans.
2. Wyjścia:
  - przefiltrowany sygnał.

## 2.1. Budowa grafu



Rys. 2.2: Przykładowy graf DSP. Wolne wejścia, które nie są modulowane przez źródła sygnału w grafie są optymalizowanymi parametrami.

Pełny graf przetwarzania można opisać za pomocą zbioru węzłów oraz listy połączeń między węzłami:

$N = [n_1, n_2, \dots, n_n]$  - liczba węzłów,

$i_j = [p_1, p_2, \dots, p_n]$  - Zbiór wejść (*inputs*)  $j$ -go węzła,

$o_j = [p_1, p_2, \dots, p_n]$  - Zbiór wyjść (*outputs*)  $j$ -go węzła,

$f_i(x)$  - operacja wykonywana na sygnale przez  $i$ -ty węzeł.

$C = [\{o_{(j,k)}, i_{(l,m)}\}, \dots]$ : lista połączeń między węzłami, opisujący, które  $k$ -te wyjście  $j$ -go węzła podłączone jest do którego  $m$ -go wejścia  $l$ -go węzła.

Nie wszystkie wejścia w grafie muszą być podłączone do któregoś z wyjść, jak pokazuje diagram 2.1. Wejście, które nie zostało nigdzie podłączone przyjmuje jako wartość wejściową parametr liczbowy optymalizowany później w funkcji celu (2.6). W przypadku schematu 1.5 takimi „wolnymi” wejściami są przykładowo sygnał określający częstotliwość odcięcia filtru sygnału lub parametry określające parametry generatora obwiedni (*EG*). Genotyp opisujący poszczególny graf przetwarzania sygnału składa się z dwóch części:

1. fragment decydujący o strukturze grafu,  $S = [s_1, s_2, \dots]$ ,
2. fragment decydujący o wartości parametrów w wolnych wejściach,  $P = [p_1, p_2, \dots]$ .

### 2.1.1. Struktura grafu

Różne rodzaje syntezy dźwięku wykorzystują inne struktury grafu przetwarzania sygnałów [27] [16]. Aby umożliwić dostosowanie grafu przetwarzania sygnałów do wykonywania różnych rodzajów syntezy, struktura grafu przetwarzania sygnałów jest dynamicznie modyfikowana przez algorytm optymalizacji. Algorytm generujący określoną strukturę grafu na podstawie genotypu opisany jest w rozdziale 4. Genotyp odpowiadający za strukturę grafu ma formę krotki liczb rzeczywistych  $S$ . Praca definiuje funkcję generującą strukturę grafu  $G_s$  z genotypu:

$$G_s(S) = N, C \quad (2.1)$$

### 2.1.2. Przypisanie parametrów do „wolnych wejść”

Po stworzeniu grafu o danej strukturze  $G_s$ , druga część genotypu wykorzystywana jest jako wartości poszczególnych parametrów  $P$  dla wolnych wejść w grafie przetwarzania sygnału.

$$\forall p_j, \forall i_n \text{ gdzie } i_n \notin C, i_n = p_j \quad (2.2)$$

## 2.2. Funkcja celu

Wykorzystana w pracy funkcja celu  $F$ , oceniająca, jak sygnał wygenerowany ( $\bar{x}$ ) przez algorytm jest bliski sygnałowi docelowemu ( $x$ ) przedstawiona jest w następujący sposób:

$$F(x, \bar{x}) = DTW(MFCC(x), MFCC(\bar{x})) \quad (2.3)$$

Gdzie  $MFCC$  oznacza *mel-frequency cepstrum coefficients*, natomiast  $DTW$  oznacza algorytm *dynamic time warping* [35]. Uzasadnienie wybranej funkcji celu opisane jest z rozdziale 3.

## 2.3. Ograniczenia

W algorytmach DSP powszechnie wykorzystuje się ograniczenie wartości sygnału do przedziału  $(-1.0, 1.0)$ , gdy implementacja danego algorytmu wykorzystuje typ `float` do przechowywania wartości sygnałów. Środowisko zaimplementowane w ramach pracy oczekuje, że wartości sygnałów będą znajdowały się w tym przedziale:

$$\forall p_i \in P \quad \forall p_i \in S, \quad -1.0 \leq p_i, s_i \leq 1.0 \quad (2.4)$$

## 2.4. Problem optymalizacji

Sygnał wygenerowany przez graf przetwarzania sygnałów zależy od następujących parametrów:

$$\bar{x} = G(G_s(S), P) \quad (2.5)$$

Gdzie  $G$  jest funkcją generującą sygnał dźwiękowy dla konkretnej struktury grafu  $G_s$  (2.1.1, 2.1), dla wartości parametrów przypisanych z  $P$  (2.1.2, 2.2). Dla parametrów  $S$  oraz  $P$ , ograniczonych przez 2.4, rozwiązywany jest następujący problem optymalizacyjny:

$$\text{Minimize } F(x, G(G_s(S), P)) \quad (2.6)$$

## Rozdział 3

# Funkcja celu – porównanie barwy dźwięku

Aby stopniowo dostosować graf przetwarzania sygnałów zaimplementowany w rozdziale 5 do imitowania zadanej próbki dźwięku, należy wykorzystać funkcję celu, która maleje wraz ze wzrostem podobieństwa barwy dźwięku między próbki zadaną i sygnałem generowanym przez graf.



Autoregressive  
Waveform != Perception

Rys. 3.1: Przykład trzech próbek dźwięku, które dla słuchacza brzmią identycznie, mimo znacznych różnic w kształcie fali. Źródło obrazka: [17].

### 3.1. Porównanie barwy dźwięku w literaturze

Żadna z prac przeanalizowanych podczas przeglądu literatury ([17], [19], [12], [20], [29], [11], [35]) nie wykorzystuje metod porównywania sygnału osadzonych jedynie w dziedzinie czasu, ponieważ nie są one skuteczne do porównywania dźwięków pod względem odczuć psychoakustycznych. Przykład różnych kształtów fali, które z perspektywy słuchacza brzmią jak taki sam dźwięk zademonstrowano na rysunku 3.

Ponieważ porównywanie barwy dźwięku instrumentów muzycznych nie należy do popularnych tematów badań, podczas przeglądu literatury wykorzystano również badania dotyczące rozpoznawania głosu, wykorzystujące współczynniki MFCC oraz *dynamic time warping* (DTW) [35].

### 3.1.1. Systematyzacja metod z literatury

Metody zaczerpnięte z literatury wykorzystują różne podejścia do porównywania barwy dźwięku pomiędzy sygnałami. Podejścia te można usystematyzować za pomocą dwóch cech:

1. Rodzaj wykonanej transformacji z dziedziny czasu do dziedziny częstotliwości:
  - transformata Fouriera (w różnych konfiguracjach) [20] [12],
  - MFCC [19] [29] [35].
2. Dalsze przetwarzanie reprezentacji sygnału w domenie częstotliwości, w celu ułatwienia optymalizacji:
  - dostosowywanie wagi konkretnych próbek na podstawie metryki określającej siłę sygnału (na przykład *root-mean-square*, RMS) [11], aby wzmocnić istotność głośniejszych fragmentów dźwięku,
  - wykorzystanie *dynamic time warping*, aby funkcja celu przyzwalała na niedokładności w odwzorowaniu dokładnej dynamiki zmian w charakterystyce spektralnej [35].

### 3.1.2. Wybór funkcji celu do przetestowania

Na podstawie analizy metod z literatury opisanej w rozdziale 3.1.1 zostały wybrane wszystkie warianty funkcji celu wykorzystywane w przeanalizowanej literaturze:

1. Różnica w spektrum Fouriera,
2. Różnica w spektrum Fouriera liczona za pomocą DTW,
3. Różnica w MFCC,
4. Różnica w MFCC liczona za pomocą DTW,
5. Różnica w MFCC ważonym za pomocą RMS.

## 3.2. Proces testowania funkcji celu



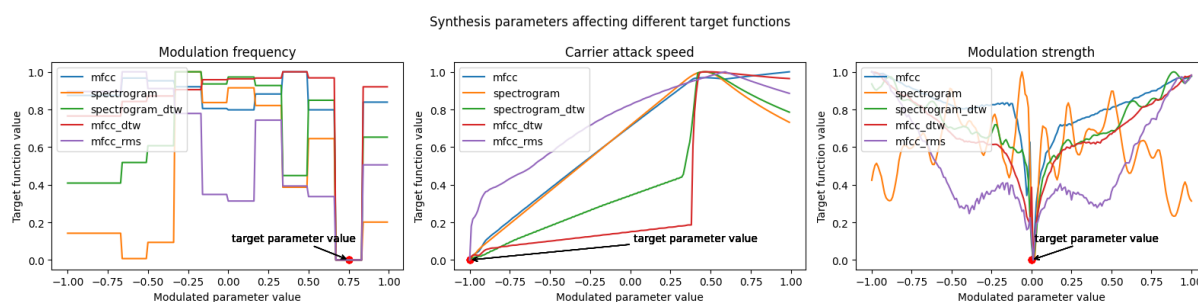
Rys. 3.2: Prosty graf syntezy FM, zawierający jeden oscylator służący za sygnał nośny i jeden oscylator służący za sygnał modulujący.

Funkcje celu zostały przetestowane poprzez wykonanie zbioru przekrojów przez uproszczony problem syntezy typu FM oraz przez przeprowadzenie próby dostosowania parametrów dwóch grafów o predefiniowanej strukturze, dla syntezy FM oraz *analog modeling*.

### 3.3. Przekrój wartości funkcji celu dla prostego problemu syntezy typu FM

Testy obejmowały wygenerowanie wartości funkcji celu podczas modyfikowania pojedynczego parametru w grafie przetwarzania sygnałów przedstawionym na rysunku 3.2. Modyfikowane parametry odpowiadają za różne cechy barwy uzyskanego dźwięku:

- HarmonicMultiplier/input\_scale: częstotliwość modulacji FM,
- SineOscillator/input\_modulation\_index: siła składowych harmonicznych,
- ADSR/input\_attack: dynamika dźwięku.



Rys. 3.3: Zmiany w wartościach testowanych funkcji celu podczas przesuwania różnych parametrów syntezy dźwięku. Kształt pierwszego wykresu wynika z zastosowania kwantyzacji dostępnych częstotliwości modulacji, aby wykluczyć nieharmoniczne stosunki częstotliwości modulacji i nośnej. Tego rodzaju praktyka jest wykorzystywana w synteźatorach FM [16], ponieważ ułatwia dostosowywanie parametrów syntezy.

#### 3.3.1. Analiza wyników

Wyniki testów zaprezentowane na wykresach 3.3 pozwalają na wyeliminowanie różnicy między spektrogramami jako funkcji celu, ponieważ w przypadku zmian częstotliwości modulacji posiada ona minimum globalne w niewłaściwej pozycji parametru. Późniejsze testy wykorzystują tylko funkcje celu wykorzystujące MFCC.

#### Częstotliwość modulacji FM

Wszystkie funkcje z wyjątkiem różnicy między spektrogramami pokazują poprawną, najniższą wartość dla właściwej wartości parametru.

#### Dynamika dźwięku

W przypadku wpływu zmian w dynamice dźwięku na wartości funkcji celu, zastosowanie DTW znacząco zmienia kształt funkcji celu, zależnie od wybranego rozmiaru okna DTW. Duży rozmiar okna powoduje zmniejszenie kary za niedokładne odwzorowanie dynamiki dźwięku.

#### Siła modulacji

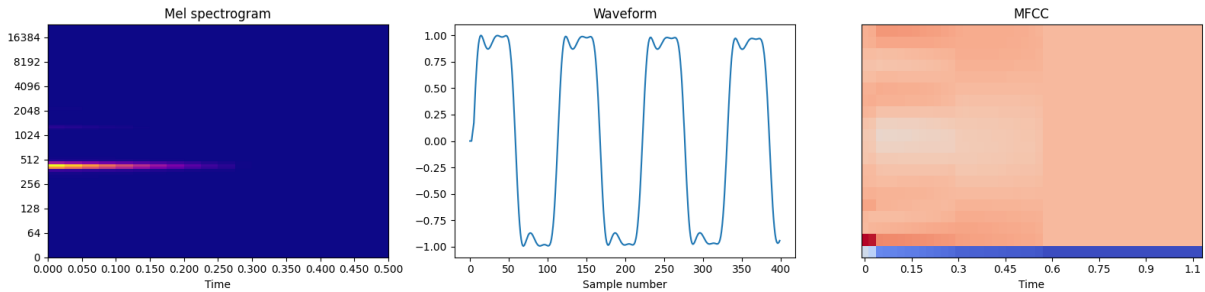
Różnica między spektrogramami jest najbardziej chaotyczna, nie maleje wraz ze zbliżaniem się do poprawnej wartości parametru. Pozostałe funkcje celu wykorzystujące MFCC mają lepszą charakterystykę – maleją wraz ze zbliżaniem się do poprawnej wartości parametru.

### 3.4. Optymalizacja parametrów dla predefiniowanych grafów syntezy FM oraz analog modeling

Drugą częścią procesu testowania funkcji celu z literatury było zweryfikowanie skuteczności każdej z funkcji w uproszczonym problemie optymalizacyjnym, polegającym jedynie na odnalezieniu właściwych parametrów dla predefiniowanej struktury grafu DSP. Wykorzystano dwa grafy DSP (3.5, 3.2), wykonujące różne rodzaje syntezy.

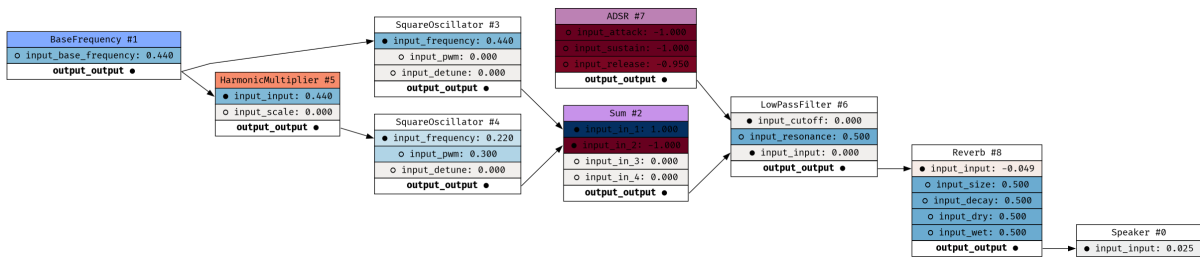
#### 3.4.1. Synteza FM

Testowana struktura grafu wykonującego syntezę typu FM 3.2 wykorzystuje 2 operatory: jedną nośną i jeden modulator. Parametry grafu zostały ręcznie dostrojone aby wygenerować krótki dźwięk typu *pluck*, w którym modulator przekształca nośną sinusoidę w sygnał zbliżony do sygnału prostokątnego. Z perspektywy wynikowego spektrum sygnału, przedstawionego na rysunku 3.8 sygnał składa się z częstotliwości podstawowej i jednej składowej harmoniczej. Wizualizacja sygnału została przedstawiona na wykresie 3.4.



Rys. 3.4: Spektrogram, kształt fali oraz wizualizacja MFCC dla próbki dźwięku, którą ma imitować graf syntezy FM podczas testów różnych funkcji celu.

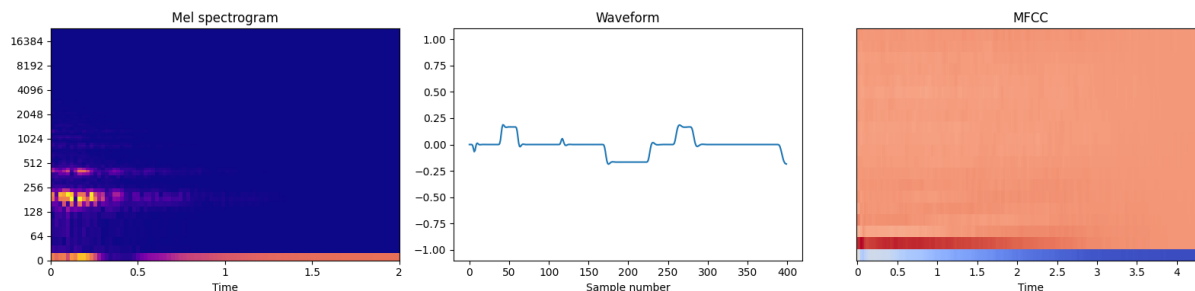
#### 3.4.2. Synteza analog modeling



Rys. 3.5: Graf wykonujący syntezę typu *analog modeling*, wykorzystany do testów funkcji celu.

Synteza *analog modeling* zazwyczaj wykorzystuje więcej parametrów niż synteza FM (3.2), aby zwiększyć trudność problemu optymalizacyjnego graf został rozszerzony o węzeł dodający efekt pogłosu [15]. Struktura grafu (przedstawiona na rysunku 3.5) składa się z dwóch oscylatorów generujących sygnał prostokątny. Oscylator *SquareOscillator #4* generuje sygnał przesunięty o oktawę w dół w stosunku do częstotliwości podstawowej, jednocześnie jego parametr *input\_pwm* skraca szerokość generowanego impulsu, aby wzbogacić barwę dźwięku o dodatkowe składowe harmoniczne. Barwa dźwięku zmienia się dynamicznie w czasie dzięki zastosowaniu filtra niskoprzepustowego (*LowPassFilter #6*), którego częstotliwość odcięcia

jest modulowana przez sygnał sterujący ADSR #7. Długość dźwięku generowanego przez oscylatory jest podobna jak w przypadku grafu FM (3.2), zastosowanie węzła Reverb #8 przedłuża czas trwania dźwięku i dodatkowo „rozmywa go” w czasie, co pokazuje spektrum sygnału na wykresie 3.6.

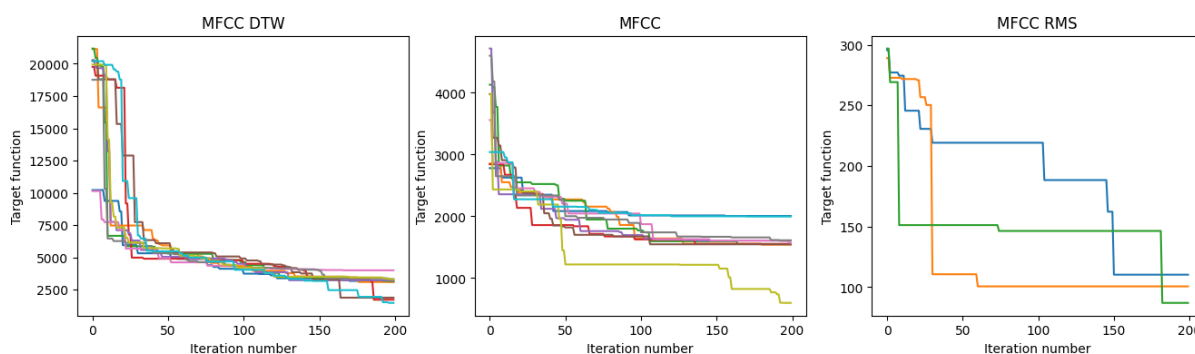


Rys. 3.6: Spektrogram, kształt fali oraz wizualizacja MFCC dla próbki dźwięku, którą ma imitować graf syntezy *analog\_modeling* podczas testów różnych funkcji celu.

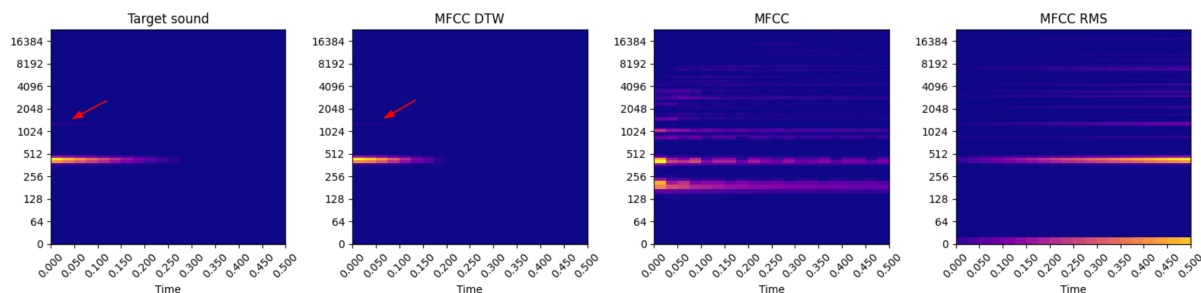
### 3.4.3. Plan testów

Dla obu grafów wykonano optymalizację parametrów wejściowych w celu imitacji danej próbki dźwięku. Optymalizację wykonano 10 razy dla każdej rozważanej (3.1.2) funkcji celu.

### 3.4.4. Wyniki testów



Rys. 3.7: Wykresy zmian funkcji celu podczas optymalizacji dla grafu syntezy FM. TODO obrazek z większą liczbą prób w RMSie



Rys. 3.8: Spektrogram dźwięku docelowego oraz dźwięków uzyskanych w procesie optymalizacji parametrów grafu. Czerwoną strzałką oznaczono składową harmoniczną, poprawnie odtworzoną przez algorytm genetyczny.



Wyniki testów pozwalają jednoznacznie wybrać funkcję celu, która porównuje wartości MFCC sygnałów za pomocą algorytmu *dynamic time warping*. W zakresie pracy nie leży szczegółowe wytłumaczenie, czemu zastosowanie DFT usprawnia proces optymalizacji. Możliwym intuicyjnym wytłumaczeniem tego fenomenu jest fakt, że DFT pozwala na rozpoznanie poszczególnych fonemów w nagraniach mowy [35], niezależnie od prędkości wypowiedzania słów. Analogicznie, w przypadku porównywania sygnałów dźwiękowych generowanych przez grafy przetwarzania sygnałów, wykorzystanie DFT pozwala na „wygładzenie” niedokładności w zmianach tembru (transjentach [4]) i dynamiki dźwięku, które występują pomiędzy sygnałem docelowym i wygenerowanym.

## Rozdział 4

# Algorytm rozwiązania



Rys. 4.1: Diagram algorytmu rozwiązania zaimplementowanego w ramach pracy. Algorytm oceny może wykorzystywać różne funkcje celu, finalnie zastosowano MFCC oraz *dynamic time wrapping*, proces wyboru funkcji celu opisuje rozdział 3.

Jak opisano w rozdziale poświęconym definicji problemu (2), praca rozwiązuje problem budowy grafu DSP z wykorzystaniem dwóch algorytmów:

1. Algorytm generujący graf DSP, opisany w rozdziale 5,
2. Algorytm oceniający jak bardzo wygenerowany dźwięk jest bliski dźwiękowi docelowemu pod względem barwy, opisany w rozdziale 3.

Praca wykorzystuje algorytm genetyczny, w którym genotyp odpowiada za strukturę grafu oraz wartości przypisane do parametrów grafu (2.1, 2.2). Diagram blokowy 4.1 ilustruje zaimplementowany algorytm.

## Rozdział 5

# Graf przetwarzania sygnałów

Na potrzeby badań zostało zaimplementowane środowisko, pozwalające na dynamiczne tworzenie grafów przetwarzania sygnałów (5.1). W projekcie nie zostało zastosowane gotowe rozwiązanie symulujące syntezytor modułowy, takie jak Bespoke Synth [13], VCV Rack [5] lub Pure Data [9], ponieważ nie udostępniały one gotowego interfejsu pozwalającego na łatwą integrację z językiem Python. Istniejące w internecie gotowe przykłady algorytmów syntezy audio pozwoliły na szybkie zaimplementowanie środowiska eksperymentowego, które posiada szeroki zbiór dostępnych algorytmów DSP oraz w przystępny sposób interfejsuje się z językiem Python, co umożliwia wykorzystanie gotowych pakietów obliczeniowych z dziedziny przetwarzania sygnałów.



Rys. 5.1: Przykładowy układ modułów w standardzie *Eurorack* [1]. W prawym dolnym rogu widoczne połączenia modułujące między modułami.

### 5.1. Podstawy syntezy dźwięku w syntezytorach modułowych

Proces syntezy dźwięku może zostać przedstawiony jako zbiór węzłów wykonujących syntezę lub przetwarzanie sygnału audio oraz połączeń między węzłami. Przykładowe elementy grafu:

#### 1. Węzły:

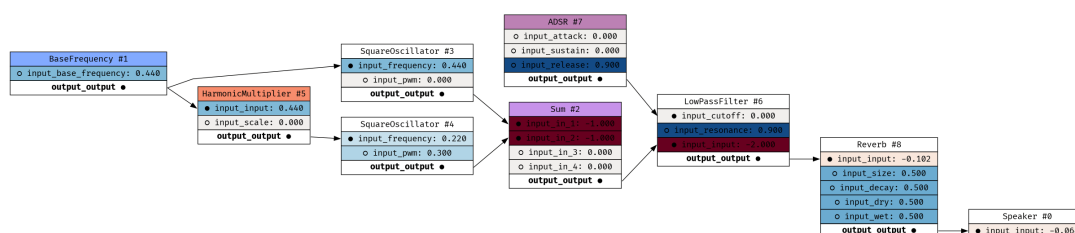
##### 1. generujące sygnał:

- synteza sygnałów (sinusoida, trójkąt, sygnał prostokątny),

- sygnał modulujący (LFO, ADSR).
2. przetwarzające sygnał:
    - filtry (górnoprzepustowy, dolnoprzepustowy, pasmowo-przepustowy),
    - efekty (pogłos, echo).
  2. Połączenia między węzłami:
    - modulowanie parametrów syntezy i przetwarzania sygnału.

Odpowiednikiem implementowanego środowiska w świecie rzeczywistym są syntezatory modułowe (przykładowo 5), które pozwalają na dowolne łączenie modułów wykonujących operacje DSP. Barwę dźwięku w syntezatorze modyfikuje się na dwa sposoby:

1. Ustawienie stałej wartości danego parametru w węźle DSP,
2. Modulacja wartości danego parametru w węźle DSP za pomocą wartości wyjściowej innego węzła.



Rys. 5.2: Przykładowy układ węzłów DSP w zaimplementowanym środowisku eksperymentowym. Układ wykonuje syntezę subtraktywną z modulowaną wartością częstotliwości granicznej filtra niskoprzepustowego oraz dodaje efekt pogłosu (*reverb*) [15].

Dla przykładowego układu DSP, przedstawionego na rysunku 5.1, skonfigurowane są między innymi parametry:

1. Częstotliwość podstawowa (węzeł BaseFrequency #1),
2. wartość, przez którą mnożona jest częstotliwość podstawowa w węźle HarmonicMultiplier #5,
3. Wartości input\_pwm w węzłach SquareOscillator #3 oraz #4,
4. Parametry algorytmu pogłosu w węźle Reverb #8.

Z kolei wartość parametru input\_cutoff w węźle LowPassFilter #6 **jest modulowana** przez sygnał wychodzący w węźle ADSR #7, co pozwala na dynamiczne zmiany częstotliwości odcięcia filtra w czasie, wzbogacając barwę generowanego dźwięku.

## 5.2. Wymagania

W ramach pracy zostały zdefiniowane wymagania dotyczące implementowanego później środowiska eksperymentowego, opisane w niniejszym rozdziale.

### 5.2.1. Węzły DSP

Pojedynczy węzeł DSP może zostać opisany za pomocą trzech cech:

1. Zbiór sygnałów wejściowych,
2. zbiór sygnałów wyjściowych,

3. wykonywana przez węzeł operacja.

SineOscillator #2
o input_frequency: 0.000
o input_modulation: 0.000
o input_modulation_index: 0.100
output_output ●

Rys. 5.3: Węzeł DSP w zaimplementowanym środowisku eksperymentowym, generujący falę sinusoidalną z możliwością modulacji fazy.



Rys. 5.4: Moduł syntezy *Mutable Instruments Elements*, umożliwiający ręczne ustawianie **oraz** modulację parametrów. Moduł wykonuje syntezę typu *physical modeling* [22].

Przykładowo, przedstawiony na rysunku 5.2.1 węzeł posiada:

1. sygnały wejściowe:
  - `input_frequency` - częstotliwość generowanej sinusoidy,
  - `input_modulation` - wartość modulacji fazy, według równania 5.1,
  - `input_modulation_index`.
2. Sygnały wyjściowe:
  - `output_output` - wartość generowanego sygnału sinusoidalnego.

Węzeł generuje sygnał sinusoidalny o fazie modulowanej poprzez parametr `input_modulation` z siłą modulacji ustawianą przez parametr `input_modulation_index`, opisane za pomocą równania 5.1 (jest to uproszczenie równania syntezy FM przedstawionego w [34]) oraz listingu 5.1:

$$f(t) = \sin(t * f + m * m_i) \quad (5.1)$$

Listing 5.1: Implementacja węzła SineOscillator.

```
impl DspNode for SineOscillator {
  fn tick(&mut self) {
    let frequency = (self.input_frequency * 1000.0).abs();
    let phase_diff = (2.0 * std::f64::consts::PI * frequency) /
      ↳ SAMPLE_RATE;
    self.output_output =
```

```

        (self.phase + self.input_modulation * self.
         ↪ input_modulation_index * 10.0).sin();
    self.phase += phase_diff;

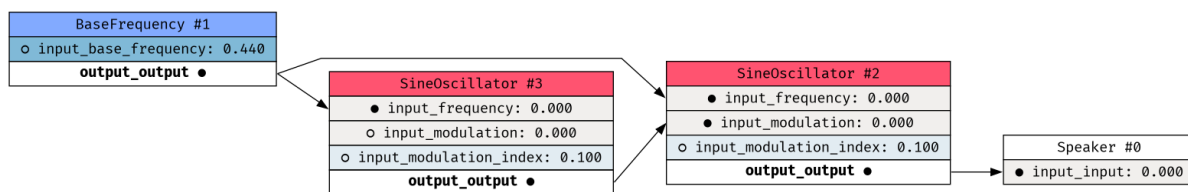
    while self.phase > std::f64::consts::PI * 2.0 {
        self.phase -= std::f64::consts::PI * 2.0
    }
}
}

```

**Wymaganie:** zaimplementowane w ramach pracy środowisko eksperymentalne musi pozwalać na zdefiniowanie węzłów DSP, które generują lub przetwarzają sygnał. Węzły posiadają sloty wejściowe, z których czytają wartości parametrów sterujących wykonywanymi przez węzły operacjami.

### 5.2.2. Połączenia między węzłami – modulacja parametrów węzłów

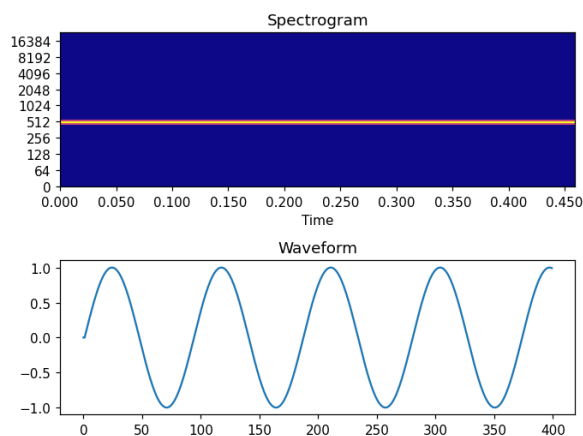
Każdy węzeł DSP w środowisku eksperymentowym posiada zbiór parametrów wejściowych. Poza możliwością ustawienia danego parametru wejściowego na konkretną wartość, możliwa jest też modulacja parametru wejściowego. Na rysunku 5.2.2 przedstawiony jest przykładowy układ węzłów i modulacji, które pozwalają na uzyskanie syntezy FM.



Rys. 5.5: Przykładowa modulacja parametru `input_modulation` za pomocą sygnału sinusoidalnego, charakterystyczna dla syntezy typu FM [28].



Rys. 5.6: Spektrogram oraz wykres sygnału wygenerowanego za pomocą układ z rysunku 5.2.2. Widoczne dodatkowe składowe harmoniczne wpływające na barwę dźwięku.



Rys. 5.7: Spektrogram oraz wykres sygnału wygenerowanego przez układ z rysunku 5.2.2 **po usunięciu** połączenia modulującego fazę oscylatora #2. Widoczna tylko jedna składowa harmoniczna: częstotliwość podstawowa.

**Wymaganie:** zaimplementowane środowisko pozwala na modulowanie dowolnego parametru wejściowego w węźle za pomocą wartości wyjściowej dowolnego węzła, **w tym modulowa-**

**nie wejścia węzła wyjściem tego samego węzła** (tzw. *circular patching*, popularny zarówno w syntezie FM jak i w układach analogowych).

### 5.2.3. Graf przetwarzania sygnałów

Węzły DSP oraz połączenia między nimi istnieją w ramach danego grafu przetwarzania sygnałów, który agreguje wiele węzłów i wiele połączeń. Instancja grafu DSP musi umożliwiać dynamiczną modyfikację grafu, na którą składają się następujące operacje:

1. Dodanie nowego węzła,
2. Dodanie nowego połączenia między węzłami,
3. Usunięcie węzła,
4. Usunięcie połączenia między węzłami,
5. Ustawienie *i*-tego parametru wejściowego danego węzła na określoną przez użytkownika wartość.

Po utworzeniu grafu, użytkownik musi mieć możliwość „uruchomienia” na grafie procesu syntezy dźwięku, który zwróci użytkownikowi strukturę danych zawierającą wygenerowany sygnał.

**Wymaganie:** zaimplementowane środowisko pozwala na dynamiczną modyfikację grafu przetwarzania sygnałów oraz na wygenerowanie sygnału z wytworzonego w środowisku grafu.

### 5.2.4. Automatyzacja pracy ze środowiskiem eksperymentowym za pośrednictwem języka Python

**Wymaganie:** ze względu na dużą dostępność gotowych algorytmów optymalizacyjnych oraz DSP w języku Python ([30], [36]), zaimplementowane środowisko musi udostępniać interfejs pozwalający na wykonywanie operacji zdefiniowanych w wymaganiach za pośrednictwem języka Python.

## 5.3. Opis zaimplementowanego środowiska eksperymentowego

W ramach pracy zaimplementowane zostało środowisko pozwalające na dynamiczne budowanie grafów DSP oraz na generowanie sygnałów dźwiękowych za pomocą wytworzonych grafów, według wymagań opisanych w sekcji 5.2. Środowisko zaimplementowano w języku Rust, dzięki czemu proces syntezy sygnałów jest szybszy niż w przypadku implementacji w języku interpretowanym. Zaimplementowana biblioteka udostępnia interfejs zgodny ze standardem *Python Extension Module* [21].

### 5.3.1. Przykłady użycia

#### Utworzenie grafu

Zaimplementowane środowisko pozwala na tworzenie grafów przetwarzania sygnałów za pomocą poleceń w języku Python. Listing 5.2 przedstawia proces tworzenia prostego grafu generującego sygnał sinusoidalny.

Listing 5.2: Utworzenie prostego grafu generującego sygnał sinusoidalny.

```
g = DspGraph()
```

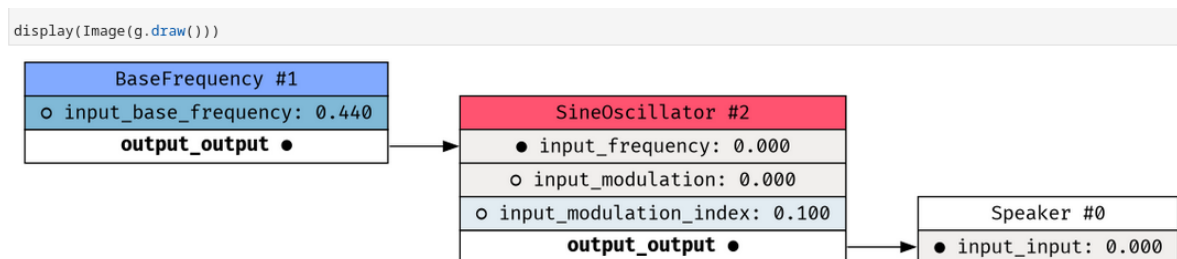
```

carrier = g.add_sine(SineOscillator())
g.patch(
    g.base_frequency_node_id, "output_output",
    carrier, "input_frequency"
)

g.patch(
    carrier, "output_output",
    g.speaker_node_id, "input_input"
)

display(Image(g.draw()))

```



Rys. 5.8: Wynik wykonania kodu przedstawionego w listingu 5.2 w środowisku *Jupyter Notebook*, wizualizacja utworzonego grafu.

## Uruchomienie procesu syntezy dźwięku

Jak pokazano na listingu 5.3, środowisko eksperymentalne zaimplementowane w ramach pracy w języku Rust zwraca obiekty typu `ndarray`, wykorzystywane w większości pakietów obliczeniowych wykorzystywanych w języku Python. Umożliwia to wykorzystanie gotowych bibliotek dostępnych w języku Python, aby przeanalizować sygnał lub zoptymalizować parametry syntezy [36] [30].

Listing 5.3: Typ danych zwracanych przez środowisko eksperymentalne.

```

>>> generated_signal = g.play(num_samples=100)
>>> type(generated_signal)
<class 'numpy.ndarray'>

```

### 5.3.2. Detale techniczne

#### Połączenia między węzłami w grafie

Ponieważ wymagania zdefiniowane w rozdziale 5.2 zawierają dynamiczne modyfikowanie grafu przetwarzania sygnałów, nie jest możliwe spredefiniowanie mechanizmu wymiany danych między połączonymi węzłami. Podczas implementacji rozważane były następujące architektury:

1. Przejście przez graf przed uruchomieniem syntezy i określenie kolejności wywołania węzłów,
2. Wykorzystanie struktury danych kolejki w każdym połączeniu,
3. Bezpośrednie przepisywanie wartości wyjść z węzłów do modulowanych przez nie wejść po każdej iteracji przetwarzania.



Ostatecznie wybrane zostało podejście 3, ze względu na konieczność spełnienia wymagania 5.2.2, konkretnie możliwości modulowania wejścia danego węzła przez wyjście tego samego węzła, co uniemożliwia wykorzystanie podejścia 1. Jednocześnie podejście 3 jest łatwiejsze do implementacji niż podejście 2. Implementację mechanizmu przesyłu danych między węzłami ułatwiło wykorzystanie makr proceduralnych, opisane w sekcji 5.3.2.

### **Zastosowanie *procedural macros* do automatycznej generacji akcesorów struktur węzłów**

Podczas implementacji grafu DSP zostały wykorzystane makra proceduralne [10], które umożliwiają automatyczne zaimplementowanie metod odczytujących  $i$ -te wejście lub wyjście danego węzła. Alternatywnym podejściem byłoby wykorzystanie struktur takich jak słowniki lub mapy, które umożliwiają na inspekcję kluczy w strukturze danych podczas działania programu i dostęp do nich za pomocą indeksu, jednakże takie podejście zmniejsza wydajność programu i nie wykorzystuje wykorzystywanie systemu typów wbudowanego w język, co potencjalnie może być źródłem błędów podczas utrzymywania dużego zbioru węzłów i algorytmów, które wykonują. Wykorzystanie makr proceduralnych pozwala na ograniczenie powtarzalnych implementacji podobnych akcesorów i zachowanie zalet silnego systemu typów języka Rust.

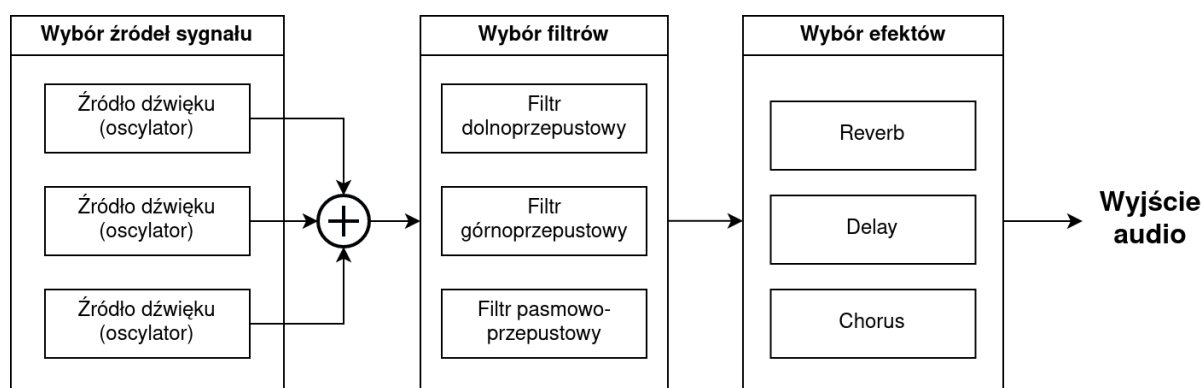
### **Implementacja natywnego modułu dla języka Python**

Aby umożliwić wykorzystanie grafu przetwarzania sygnałów z poziomu języka Python, wykorzystano narzędzie *Maturin* [8], służące do implementowania rozszerzeń zgodnych ze standardem *Python Extension Module* [21] w języku Rust.

## Rozdział 6

# Optymalizacja struktury grafu DSP oraz jego parametrów

Praca proponuje algorytm tworzący strukturę grafu DSP, który generuje różne warianty grafów przetwarzania sygnałów powszechnie są wykorzystywanych w synteźatorach [27] [16] [6]. Takie podejście pozwala na dostosowanie grafu do danego rodzaju syntezy, lub połączenie wielu typów syntezy w celu uzyskania bardziej złożonego brzmienia. Algorytm wybiera węzły dla każdej sekcji zilustrowanej na rysunku 6.1.



Rys. 6.1: sekcje przetwarzania sygnałów oraz przykładowe węzły przetwarzania sygnałów, które są w nich powszechnie wykorzystywane.

Przykładowo, w synteźatorach wykorzystujących syntezę typu FM [6], źródłem sygnału będą operatory wykorzystujące proste sygnały sinusoidalne, poddane modulacji częstotliwości. Dla synteźatorów analogowych (subtraktywnych), zamiast prostych sygnałów wykorzystywane są oscylatory generujące fale kwadratowe i piłokształtne, o dużej liczbie składowych harmonicznym. Uzasadnia to wykorzystanie filtrów dolnoprzepustowych, które z kolei nie występują w tradycyjnych synteźatorach FM (pojawiają się dopiero we współczesnych modelach [16]). Instrumenty eksperymentalne, wykorzystujące mniej popularne rodzaje syntezy, takie jak *physical modeling* [7], często opierają się jedynie na rozbudowanej sekcji oscylatorów, które posiadają wystarczająco dużo parametrów by wynagrodzić tym brak sekcji subtraktywnej. Po drugiej stronie spektrum znajdują się instrumenty wykorzystujące głównie sekcję efektów i syntezę granularną [3], aby w nieoczekiwany sposób modyfikować proste próbki dźwięku.

## 6.1. Wybór źródeł sygnału

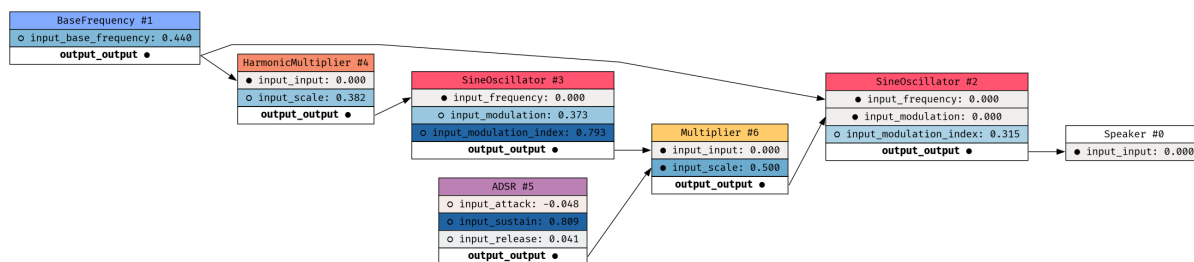
Graf posiada 3 sloty dla węzłów generujących sygnał. W pracy zaimplementowano różne typy syntezy, które mogą być wykorzystane przez algorytm do syntezy dźwięków o różnorodnych barwach.

### 6.1.1. Synteza FM

Zaimplementowane w pracy geny odpowiedzialne za syntezy FM odwzorowują uproszczone algorytmy syntezy wykorzystane w syntezatorze *Yamaha DX7* [6].

#### Gen FM1

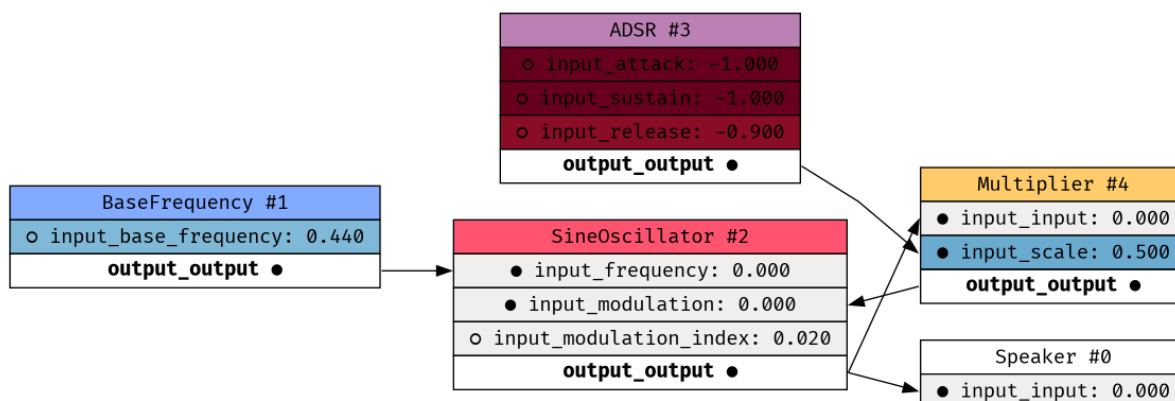
Gen FM1



Rys. 6.2: Graf wykorzystujący gen FM1.

Gen FM1, przedstawiony na diagramie 6.3, typową dla syntezy FM modulację fali sinusoidalnej za pomocą innej fali sinusoidalnej. Taki układ umożliwia uzyskanie dźwięków przypominających dźwięki fletu, trąbki lub dzwonków.

#### Gen FM2



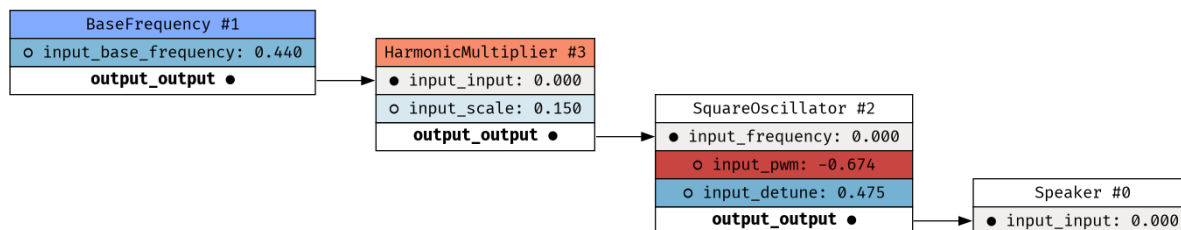
Rys. 6.3: Graf wykorzystujący gen FM2.

Gen FM2, zilustrowany na diagramie 6.3, wykorzystuje pojedynczy operator ze sprzężeniem zwrotnym. W zależności od ustawionych parametrów, taka struktura pozwala na uzyskanie dźwięków przypominających uderzenie w strunę lub służyć jako źródło szumu.

### 6.1.2. Synteza *analog modeling*

Zaimplementowane w pracy geny odpowiedzialne za syntezy FM odwzorowują uproszczone algorytmy syntezy wykorzystane w syntezatorze *Korg Minilogue xd* [6].

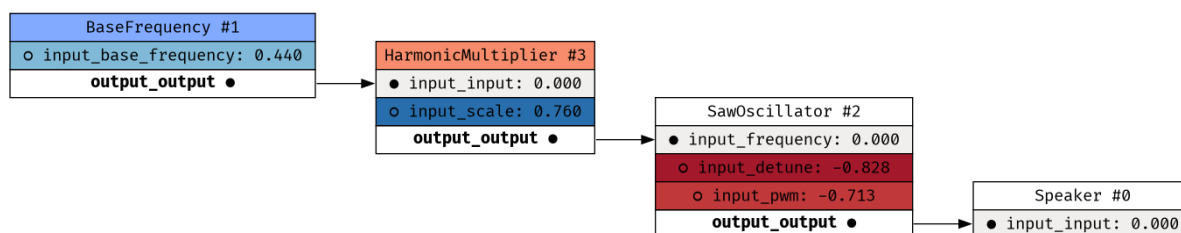
#### Gen AN1



Rys. 6.4: Graf wykorzystujący gen AN1.

Gen AN1 (diagram 6.4) pozwala na uzyskanie fal prostokątnych o różnej szerokości impulsów.

#### Gen AN2



Rys. 6.5: Graf wykorzystujący gen AN2.

Gen AN2, przedstawiony na diagramie 6.5, pozwala na uzyskanie sygnałów piłokształtnych.

## 6.2. Wybór filtrów

W pracy wykorzystano gotową implementację filtra cyfrowego, emulującego rezonansowy filtr drabinkowy [2]. Implementacja została wykorzystana do wytworzenia filtrów dolno oraz górno-przepustowego.

### 6.2.1. Filtr górnoprzepustowy

### 6.2.2. Filtr dolnoprzepustowy

## 6.3. Wybór efektów

W pracy wykorzystano gotowy algorytm pogłosu (*reverb*) oparty na [15]. Algorytm generujący echo (*delay*) został zaimplementowany jako bufor kołowy.

### **6.3.1. Reverb**

### **6.3.2. Delay**

# Literatura

- [1] Eurorack standard - wikipedia article. Dostępny na <https://en.wikipedia.org/wiki/Eurorack>.
- [2] Ladder filter implementation. [https://github.com/RustAudio/vst-rs/blob/master/examples/ladder\\_filter.rs](https://github.com/RustAudio/vst-rs/blob/master/examples/ladder_filter.rs).
- [3] Microcosm hologram user manual. [https://www.hologramelectronics.com/\\_files/ugd/74428b\\_c4e6e20555914198bdb59c12f9a9e4d4.pdf](https://www.hologramelectronics.com/_files/ugd/74428b_c4e6e20555914198bdb59c12f9a9e4d4.pdf).
- [4] Transient (acoustics). Dostępny na [https://en.wikipedia.org/wiki/Transient\\_\(acoustics\)](https://en.wikipedia.org/wiki/Transient_(acoustics)).
- [5] Vcv rack - virtual eurorack studio. <https://vcvrack.com/>.
- [6] Yamaha dx7 user manual. [https://usa.yamaha.com/files/download/other\\_assets/9/333979/DX7E1.pdf](https://usa.yamaha.com/files/download/other_assets/9/333979/DX7E1.pdf).
- [7] Yamaha vll user manual. [https://europe.yamaha.com/files/download/other\\_assets/9/321049/VL1E1.pdf](https://europe.yamaha.com/files/download/other_assets/9/321049/VL1E1.pdf).
- [8] Maturin - build and publish crates with pyo3, rust-cpython, cffi and uniffi bindings as well as rust binaries as python packages., 2023. <https://github.com/PyO3/maturin>.
- [9] Pure data - an open source visual programming language for multimedia, 2023. <https://puredata.info/>.
- [10] The rust reference - procedural macros, 2023. <https://doc.rust-lang.org/reference/procedural-macros.html>.
- [11] B. Bozkurt, K. A. Yüksel. Parallel evolutionary optimization of digital sound synthesis parameters. C. Di Chio, A. Brabazon, G. A. Di Caro, R. Drechsler, M. Farooq, J. Grahl, G. Greenfield, C. Prins, J. Romero, G. Squillero, E. Tarantino, A. G. B. Tetta-manzi, N. Urquhart, A. Ş. Uyar, redaktorzy, *Applications of Evolutionary Computation*, strony 194–203, Berlin, Heidelberg, 2011. Springer Berlin Heidelberg.
- [12] F. Caspe, A. McPherson, M. Sandler. Ddx7: Differentiable fm synthesis of musical instrument sounds, 2022.
- [13] R. Challinor. Bespoke synth - a modular daw for mac, windows, and linux., 2023. <https://www.bespokesynth.com/>.
- [14] N. Collins. The analysis of generative music programs. *Organised Sound*, 13(3):237–248, 2008.
- [15] J. Dattorro. Effect design 1: Reverberator and other filters. 1997.
- [16] Elektron. Elektron digitone user manual, 2022. [https://cdn.www.elektron.se/media/downloads/digitone/Digitone\\_User\\_Manual\\_ENG\\_OS1.40A\\_221123.pdf](https://cdn.www.elektron.se/media/downloads/digitone/Digitone_User_Manual_ENG_OS1.40A_221123.pdf).

- 
- [17] J. Engel, L. H. Hantrakul, C. Gu, A. Roberts. Ddsp: Differentiable digital signal processing. *International Conference on Learning Representations*, 2020. <https://openreview.net/forum?id=B1x1ma4tDr>.
  - [18] J. Engel, C. Resnick, A. Roberts, S. Dieleman, D. Eck, K. Simonyan, M. Norouzi. Neural audio synthesis of musical notes with wavenet autoencoders, 2017.
  - [19] D. Faronbi, I. Roman, J. P. Bello. Exploring approaches to multi-task automatic synthesizer programming. *ICASSP 2023 - 2023 IEEE International Conference on Acoustics, Speech and Signal Processing (ICASSP)*, strony 1–5, 2023.
  - [20] S. Forsgren, H. Martiros. Riffusion - Stable diffusion for real-time music generation. 2022.
  - [21] P. S. Foundation. Python documentation - extending python with c or c++, 2019. <https://www.korg.com/us/support/download/manual/0/811/4277/>.
  - [22] N. Hind. *Common Lisp Music (CLM) Tutorials*. wydanie first, 2021. Available for free at <https://ccrma.stanford.edu/software/clm/compmus/clm-tutorials/toc.html>.
  - [23] E. Jacobsen, R. Lyons. The sliding dft. *IEEE Signal Processing Magazine*, 20(2):74–80, 2003.
  - [24] Y. Ke, D. Hoiem, R. Sukthankar. Computer vision for music identification. *2005 IEEE Computer Society Conference on Computer Vision and Pattern Recognition (CVPR'05)*, wolumen 1, strony 597–604 vol. 1, 2005.
  - [25] A. F. Khalifeh, A.-K. Al-Tamimi, K. A. Darabkh. Perceptual evaluation of audio quality under lossy networks. *2017 International Conference on Wireless Communications, Signal Processing and Networking (WiSPNET)*, strony 939–943, 2017.
  - [26] K. Kilgour, M. Zuluaga, D. Roblek, M. Sharifi. Fréchet audio distance: A metric for evaluating music enhancement algorithms, 2018. <https://arxiv.org/abs/1812.08466>.
  - [27] KORG. Korg minilogue xd user manual, 2017.
  - [28] S. Luke. *Computational Music Synthesis*. wydanie first, 2021. Available for free at <http://cs.gmu.edu/~sean/book/synthesis/>.
  - [29] M. Macret, P. Pasquier. Automatic design of sound synthesizers as pure data patches using coevolutionary mixed-typed cartesian genetic programming. *Proceedings of the 2014 Annual Conference on Genetic and Evolutionary Computation, GECCO '14*, strona 309–316, New York, NY, USA, 2014. Association for Computing Machinery.
  - [30] B. McFee, C. Raffel, D. Liang, D. Ellis, M. Mcvicar, E. Battenberg, O. Nieto. librosa: Audio and music signal analysis in python. strony 18–24, 01 2015.
  - [31] R. Rombach, A. Blattmann, D. Lorenz, P. Esser, B. Ommer. High-resolution image synthesis with latent diffusion models, 2021.
  - [32] J. O. Smith. *Introduction to Digital Filters with Audio Applications*. W3K Publishing, <http://www.w3k.org/books/> <http://www.w3k.org/books/>, 2007.
  - [33] J. O. Smith. Physical signal audio processing. 2010.
  - [34] J. O. Smith. *Spectral Audio Signal Processing*. <http://ccrma.stanford.edu/jos/sasp/>, accessed <date>. online book, 2011 edition.

- 
- [35] M. Sood, S. Jain. Speech recognition employing mfcc and dynamic time warping algorithm. P. K. Singh, Z. Polkowski, S. Tanwar, S. K. Pandey, G. Matei, D. Pirvu, redaktorzy, *Innovations in Information and Communication Technologies (IICT-2020)*, strony 235–242, Cham, 2021. Springer International Publishing.
- [36] P. Virtanen, R. Gommers, T. E. Oliphant, M. Haberland, T. Reddy, D. Cournapeau, E. Burrowski, P. Peterson, W. Weckesser, J. Bright, S. J. van der Walt, M. Brett, J. Wilson, K. J. Millman, N. Mayorov, A. R. J. Nelson, E. Jones, R. Kern, E. Larson, C. J. Carey, Í. Polat, Y. Feng, E. W. Moore, J. VanderPlas, D. Laxalde, J. Perktold, R. Cimrman, I. Henriksen, E. A. Quintero, C. R. Harris, A. M. Archibald, A. H. Ribeiro, F. Pedregosa, P. van Mulbregt, SciPy 1.0 Contributors. SciPy 1.0: Fundamental Algorithms for Scientific Computing in Python. *Nature Methods*, 17:261–272, 2020.
- [37] L. Zhang, C. Callison-Burch. Language models are drummers: Drum composition with natural language pre-training, 2023.
- [38] F. Zheng, G. Zhang, Z. Song. Comparison of different implementations of mfcc. *Journal of Computer Science and Technology*, 16(6):582–589, Nov 2001. <https://doi.org/10.1007/BF02943243>.



## Dodatek A

# Instrukcja wdrożeniowa

Jeśli praca skończyła się wykonaniem jakiegoś oprogramowania, to w dodatku powinna pojawić się instrukcja wdrożeniowa (o tym jak skompilować/zainstalować to oprogramowanie). Przydałoby się również krótkie „*how to*” (jak uruchomić system i coś w nim zrobić – zademonstrowane na jakimś najprostszym przypadku użycia). Można z tego zrobić osobny dodatek.

cargo run i jazda

## **Dodatek B**

### **Opis załączonej płyty CD/DVD**